

## 伝達マトリックス法による開断面曲線筋の解析

京都大学 正工博 小西一郎  
川崎重工 正工修 O. 部順一

本研究は、線形構造物の数値解析に対する有効な解析手法である伝達マトリックス法による、薄肉開断面を有する曲線筋の解析と、行方のものである。その特徴は、ねじりによつて構造物の軸方向に生じるソリガ拘束された場合の影響を考慮し、St. Venant's Torsion理論によって求めたものと、比較考察するものである。

構造物がねじられると、その断面は一般に軸方向にツル、と云ふ事は周知の事である。したがつて、このツルが拘束されると、軸直立力（ソリ直立力）が生じ、これに対応して、次の剪断流が生じる。今、我々は薄肉開断面がソリ拘束を受けた場合の軸方向性を、次の様に表わす事が出来ると仮定する。

$$\omega_w = -f'(z) \cdot \hat{w}(s) \quad (1)$$

ソリ直立力  $G_{wz}$

$$G_w = E \cdot \frac{\partial \omega_w}{\partial z} = -E \cdot f'' \cdot \hat{w} \quad (2)$$

と表わす事が出来た。式(2)を用いて我々は、軸方向の約合条件よりソリ拘束の影響を考慮した場合のねじりに関する基礎方程式を次に示す様に導く事が出来る。

$$T = T_1 + T_2 = (1 + \nu) \cdot \frac{\partial \phi}{\partial z} - \nu G J \cdot f' \quad (3)$$

$$\text{此處に } \mu = \frac{\nu}{1 + \nu} \quad = G \cdot J f' - \frac{E C}{\mu} \cdot f'' \quad (4)$$

曲線筋では、断面の剪断中心を通る荷重によつてとへ、その断面の曲線筋曲率中心回りに回転するので、我々は曲線筋の場合のねじり角を  $\tau = \phi + \omega/R$  で表わす。また、曲率半径  $R$  が、荷幅に比べて充分大きいとすれば、我々は一軸対称断面を有する場合の基礎方程式を以下に示す様に表わす事が出来る。

$$\left. \begin{aligned} M_x &= E I_x \cdot (\phi/R - \omega) \\ M_y &= -E I_y \cdot (w'/R - \frac{d\omega}{R} \cdot \omega'' + \omega) = -E I_y \cdot \gamma'_y \\ w &= -E C \cdot f'' \\ N &= E A \cdot (w' - \omega/R - \frac{d\omega}{R} \cdot \phi) \end{aligned} \right\} \quad (5)$$

以上の各式より直立力  $G$  は、次の様に表わされる。

$$G = \frac{N}{F} + \frac{M_x}{I_x} \cdot y + \frac{M_y}{I_y} \cdot x + \frac{w}{C} \cdot \hat{w} \quad (6)$$

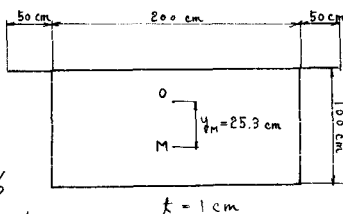
(4), (5) 式の線形連立方程式を解き 8 つの積分定数で、1 つの初期物理量  $\left\{ \frac{\partial \phi}{\partial z}, u, R \gamma_y, \omega, R \frac{d\omega}{dz}, R \phi, w', Q^*, Q_y^*, N^*, M_x^*, M_y^*, T^* \right\}$  で表わし、所要の軸方向の力の約合条件を考へると、軸線上に実在の 14 の物理量  $\left\{ \frac{\partial \phi}{\partial z}, u, R \gamma_y, w, R \frac{d\omega}{dz}, R \phi, w', Q^*, Q_y^*, N^*, M_x^*, M_y^*, T^* \right\}$  10 次に示す様に、初期物理量と Field Function の 2 つ

11. クラス積で表力方程式を導く

$\delta$	1 $A_{11}$ 0 0 0 0 $A_{16}$ $A_{17}$ $A_{18}$ $A_{19}$ $A_{110}$ $A_{111}$ $A_{112}$ 0 $A_{114}$ $A_{115}$	$\delta$
$\frac{d\delta}{dx}$	0 $A_{22}$ 0 0 0 0 $A_{26}$ $A_{27}$ $A_{28}$ $A_{29}$ $A_{210}$ $A_{211}$ $A_{212}$ 0 $A_{214}$ $A_{215}$	$\frac{d\delta}{dx}$
$\alpha$	0 $A_{32}$ $A_{33}$ $A_{34}$ $A_{35}$ 0 0 0 0 $A_{310}$ $A_{311}$ $A_{312}$ $A_{313}$ $A_{314}$ $A_{315}$	$\alpha$
$R_{Tn}$	0 0 0 1 0 0 0 0 $A_{39}$ 0 $A_{41}$ 0 $A_{42}$ 0 0	$R_{Tn}$
$w$	0 0 $A_{52}$ $A_{53}$ $A_{54}$ $A_{55}$ 0 0 $A_{56}$ $A_{57}$ $A_{58}$ $A_{59}$ $A_{510}$ $A_{511}$ $A_{512}$ $A_{513}$ $A_{514}$ $A_{515}$	$w$
$\frac{dw}{dx}$	0 0 0 0 0 0 $A_{66}$ 0 $A_{67}$ 0 $A_{68}$ 0 $A_{69}$ 0 $A_{610}$ 0 $A_{611}$ 0 $A_{612}$ 0 $A_{613}$ $A_{614}$ $A_{615}$	$\frac{dw}{dx}$
$R\phi$	0 $A_{72}$ 0 0 0 $A_{76}$ $A_{77}$ $A_{78}$ $A_{79}$ $A_{710}$ $A_{711}$ $A_{712}$ 0 $A_{714}$ $A_{715}$	$R\phi$
$\langle w^* \rangle$	= 0 0 0 0 0 $A_{81}$ 0 $A_{82}$ 0 $A_{83}$ 0 $A_{84}$ 0 $A_{85}$ 0 $A_{86}$ 0 $A_{87}$ 0 $A_{88}$ 0 $A_{89}$ 0 $A_{810}$ 0 $A_{811}$ 0 $A_{812}$ 0 $A_{813}$ $A_{814}$ $A_{815}$	$w^*$
$Q_x^*$	0 0 0 0 0 0 0 0 $A_{99}$ 0 $A_{911}$ 0 0 0 0 0 0	$Q_x^*$
$Q_z^*$	0 0 0 0 0 0 0 0 0 1 0 0 0 0 0 0 $A_{1015}$	$Q_z^*$
$N^*$	0 0 0 0 0 0 0 0 0 $A_{119}$ 0 $A_{111}$ 0 0 0 0 0 0	$N^*$
$M_x^*$	0 0 0 0 0 0 0 0 $A_{203}$ $A_{210}$ 0 $A_{212}$ 0 $A_{214}$ $A_{215}$	$M_x^*$
$M_y^*$	0 0 0 0 0 0 0 0 $A_{319}$ 0 $A_{311}$ 0 1 0 0 0 0	$M_y^*$
$T^*$	0 0 0 0 0 0 0 0 0 $A_{410}$ $A_{411}$ $A_{412}$ 0 $A_{414}$ 0 0 0 0	$T^*$
1	0 0 0 0 0 0 0 0 0 0 0 0 0 0 0 0 1	1

この式に於て 14 の物理量の次元は  $[L]$  に一致する。かつ Field Matrix の各要素は無次元化される。  $a_{ij}$  を表示した各要素の詳細は紙面の都合上省略する。

数値例として、右図に示す構造断面を有する。薄肉  
開断面多曲半径曲線形  $R_1 = 80 \text{ m}$ ,  $d_1 = 0.015 \pi \text{ rad}$ .  
 $R_2 = 60 \text{ m}$ ,  $d_2 = 0.02 \pi \text{ rad}$ ,  $R_3 = 50 \text{ m}$ ,  
 $d_3 = 0.024 \pi \text{ rad}$ . は等分布垂直荷重  $f_1$ ,  $f_2$  が、  
 $f_1$  荷重と  $f_2$  荷重の場合は  $f_1 + f_2$  が結果と比較  
 $f_1$  と 垂直荷重  $f_2$  の約 1.15 倍の影響を及ぼす。また  $f_1$  の  $M_{x1}$  は  $M_{x2}$  の  $1.15$  倍である。  
 $f_1$  と  $f_2$  の  $M_{y1}$  は  $M_{y2}$  の  $1.15$  倍である。また  $f_1$  と  $f_2$  の  $T$  は  $T$  の  $1.15$  倍である。  
 $f_1$  と  $f_2$  の  $N$  は  $N$  の  $1.15$  倍である。  
 $f_1$  と  $f_2$  の  $Q_x$  は  $Q_x$  の  $1.15$  倍である。  
 $f_1$  と  $f_2$  の  $Q_z$  は  $Q_z$  の  $1.15$  倍である。



### 参考文献

- 1) R. Dabrowski : Gekrümmte dünnwandige Träger, Springer-Verlag, 1968.
- 2) G. Becker : Ein Beitrag zur statischen Berechnung beliebig gelagerter ebener gekrümmter Stäbe mit einfache symmetrischen dünnwandigen offenprofilen von in Stabachse veränderlichem Querschnitt unter Berücksichtigung der Wölbkrafttorsion, Stahlbau, Band 34, S 334, S 368, 1965